

RSA Algoritmasının Raspberry Pi Üzerinde Gerçeklemesine Elektromanyetik Yayınım Analizi

Electromagnetic Radiation Analysis of Implementation of RSA Algorithm on a Raspberry Pi

Ersin Hatun
Elektronik Mühendisliği
İstanbul Teknik Üniversitesi
İstanbul, Türkiye
hatun@itu.edu.tr

Elif Büyükkaya
Bilgi Güvenliği Mühendisliği
İstanbul Şehir Üniversitesi
İstanbul, Türkiye
elifbuyukkaya@std.sehir.edu.tr

Sıddıka Berna Örs Yalçın
Elektronik Mühendisliği
İstanbul Teknik Üniversitesi
İstanbul, Türkiye
siddika.ors@itu.edu.tr

Özetçe—Bu bildiri RSA algoritmasının Raspberry Pi platformu üzerinde gerçekleştirmesinin elektromanyetik yayını analizine karşı güvenliği değerlendirilmiştir. Raspberry Pi üzerinde iki farklı RSA algoritması gerçekleştirilmiştir. Bu algoritmalar üzerinde Basit Elektromanyetik Analizi ve Farksal Elektromanyetik Analizi saldırıları gerçekleştirilmiştir. Basit Elektromanyetik Analizi saldırısıyla önlem alınmamış bir gerçekleştirme anahtarın tüm bitleri tek ölçüm ile elde edilmiştir. Ayrıca Basit Elektromanyetik Analize karşı dayanıklı bir gerçeklemeye Farksal Elektromanyetik Analizi saldırısı gerçekleştirilerek korelasyon analiziyle 2500 ölçüm ile anahtarın bir bit değeri elde edilmiştir.

Anahtar Kelimeler — *Raspberry Pi; RSA; Basit Elektromanyetik Analizi; Farksal Elektromanyetik Analizi.*

Abstract—In this paper, security analysis of RSA implementation on a Raspberry Pi against electromagnetic radiation analysis is evaluated. Two different RSA algorithm is implemented on Raspberry Pi. Simple Electromagnetic Analysis and Differential Electromagnetic Analysis attacks are performed. Using Simple Electromagnetic Analysis attack on an unprotected implementation, all key bits are found with one measurement. Also, Differential Electromagnetic Analysis attack is performed against an improved implementation that has countermeasure against Simple Electromagnetic Analysis attack. One key bit is found using 2500 measurements with a correlation analysis in Differential Electromagnetic Analysis attack.

Keywords — *Raspberry Pi; RSA; Simple Electromagnetic Analysis; Differential Electromagnetic Analysis.*

I. GİRİŞ

Gömülü sistemler günümüzde her cihazın vazgeçilmez bir parçasıdır [1]. Teknolojinin gelişmesiyle beraber gömülü sistemlerin kullanım alanları artmıştır. Nesnelerin interneti ile birlikte gömülü sistemler ağ üzerinde birbiriyle bağlı hale gelmektedir. Ağ üzerinden gerçekleştirilen siber saldırılara karşı cihazların yeterince güvenli olmasının yanında, yan kanal analizi gibi ataklara karşı da gömülü sistemlerin güvenli olması önemlidir [2]. Yan kanal analizi atakları sistemin istemeden dışarıya yaydığı bilgileri kullanarak gizli anahtar hakkında bilgi etme yöntemidir. İlk pratik atak Kocher tarafından gerçekleştirilmiştir [3]. Kocher bu çalışmada şu fikri öne atmıştır. Kriptografik algoritma gerçekleştirilen iken sabit bir zamanda gerçekleştirilmeyen işlemler olabilir. Eğer bu işlemler gizli

parametreleri içeriyor ise bu zamansal farklılıklar kullanılarak yetkin bir kişi tarafından gizli parametrelerin tamamı elde edilebilir [4]. Bu yaklaşımla beraber kriptografik algoritmaların matematiksel olarak sınanmasının yanında gerçeklemeye dayalı olası zayıflıklara karşı da sınanması gerektiği ortaya çıkmıştır. En çok kullanılan yan kanal bilgileri güç tüketimi, zamanlama ve elektromanyetik radyasyondur [5]. Raspberry Pi [6] küçük olmasının yanında mini bir bilgisayar özelliğine sahip olduğundan ideal bir gömülü sistemdir. Nesnelerin interneti ile birlikte popülerliği günden güne artmaktadır.

Bu bildiri RSA algoritmasının Raspberry Pi platformu üzerinde gerçekleştirmesinin yan kanal analizi saldırılarından biri olan Elektromanyetik yayını yan kanal analizine karşı güvenliği değerlendirilmiştir. Raspberry Pi platformu üstünde RSA şifreleme algoritması için kullanılan hızlı üs alma ve her zaman kare alma ve çarpma algoritmaları gerçekleştirilmiştir.

II. MATEMATİKSEL ARKA PLAN

A. RSA şifreleme algoritması

RSA şifreleme algoritması 1978 yılında açıklanmıştır [7]. En çok tercih edilen açık anahtarlı şifreleme algoritmalarından biridir. RSA algoritmasında açık veri m ve şifrelenmiş veri c olmak üzere şifreleme: $c = m^e \bmod n$, şifre çözme işlemi: $m = c^d \bmod n$ şeklinde tanımlanmıştır.

B. Hızlı Üs Alma Algoritması

RSA şifreleme algoritması kullanılarak yapılan şifreleme ve şifre çözme işlemlerinde modüler üs alma işlemi kullanılmaktadır. Sayılar büyüdükçe bu işlemi hızlı yapabilmek için bir yöntem ihtiyacı duyulmuştur [7]. Çarpma ve kare alma algoritması en çok kullanılan ve en basit hızlı modüler üs alma algoritmasıdır (Şekil 1). Anahtar e olmak üzere, anahtarın bit değerleri bulunduğu algoritma kırılmış olur.

C. Elektromanyetik Yayınım Analiz Saldırısı

Tamamlayıcı metal oksitli yarı iletken transistörler (Complementary Metal Oxide Semiconductor - CMOS) elektronik tümdevrelerin gerçekleştirilmesinde çok sık kullanılmaktadır [8]. Devrelerin toplam güç tüketimi dinamik ve statik güç tüketimi olmak üzere ikiye ayrılmaktadır.

```


$$e = (e_k, e_{k-1}, e_{k-2}, e_{k-3}, \dots, e_0)_2$$


$$c = m^e \bmod n$$

1:  $c \leftarrow 1$ 
2: for  $i = k : 0$  // soldan sağa doğru
3:    $c \leftarrow c * c \bmod n$  // Kare alma
4:   if  $e_i = 1$ 
5:      $c \leftarrow c * m \bmod n$  // Çarpma

```

Şekil. 1. Hızlı üs alma algoritması

CMOS eviricilerinde dinamik güç harcaması daha baskındır. Tranzistörün çıkışının değişmediği zamandaki güç tüketimi statik güç tüketimini verir iken tranzistörün çıkışının değiştiği zamandaki güç tüketimi dinamik güç tüketimini vermektedir. CMOS kapısının çıkış değerindeki değişimin, anlık akım değişimine neden olduğu bilinmektedir. Anlık akım değişiminin yanı sıra elektromanyetik yayılım da ortaya çıkmaktadır. İşlenen veriye ya da gerçekleştirilen işleme göre elektromanyetik radyasyon değişmektedir. Antenlerle elde edilen elektromanyetik radyasyon elektromanyetik analiz saldırıları için yan kanal bilgisi olarak kullanılmaktadır.

Elektromanyetik yayılım analiz saldırıları basit elektromanyetik analizi saldırıları (Simple Electromagnetic Analysis - SEMA) ve farksal elektromanyetik analizi saldırıları (Differential Electromagnetic Analysis - DEMA) olmak üzere ikiye ayrılır [10]. Basit elektromanyetik analizi saldırılarında, saldırgan tek ölçüm kullanarak anahtarın tamamını ya da bir kısmını ele geçirmeye çalışmaktadır. Ölçümdeki gürültünün fazla olduğu durumlarda kullanılan farksal elektromanyetik analizi saldırılarında ise, birçok ölçüm kullanılarak gürültü yok edilmektedir.

D. Korelasyon Analizi

Korelasyon iki değişken arasındaki ilişkinin derecesini gösteren istatistiksel bir analiz yöntemidir. Korelasyon analizi için çalışma zamanının belli noktalarındaki yan kanal bilgilerinin seviyesi oluşturulan modele göre tahmin edilir. Daha sonra bu tahminler ile gerçek yan kanal bilgilerinin korelasyonuna bakılır. Analiz işlemine giren değişkenlerin ilişkilerinin seviyesini ve yönünü korelasyon katsayısı gösterir. Farklı sistemler için farklı korelasyon katsayıları kullanılmaktadır. Bu korelasyon işlemi için 'Pearson Korelasyon Katsayısı' kullanılabilir [11].

$$C(X, Y) = \frac{E(X, Y) - E(X)E(Y)}{\sqrt{Var(X)Var(Y)}} \quad (1)$$

Denklem (1)'de $C(X, Y)$ korelasyon katsayısını vermektedir. $E(X)$, X değişkeninin beklenen değerini verirken $Var(X)$ ise X değişkeninin standart sapma değerini vermektedir. Korelasyon katsayısı $[-1, +1]$ aralığında değer almaktadır. Korelasyon katsayısı 0 ise iki değişken arasında korelasyon yoktur denir. Değişkenlerin ikisi de aynı anda arttıkça katsayı değeri 1'e yaklaşırken, biri arttıkça diğeri azalan değişkenler için katsayı değeri -1'e yaklaşmaktadır.

III. ÖLÇÜM DÜZENİĞİ

Ölçüm düzeneği Raspberry Pi, bilgisayar, osiloskop ve elektromanyetik alan alıcısı sisteminden oluşmaktadır. Raspberry Pi üzerindeki Broadcom firmasının BCM2835 işlemcisi yan kanal saldırısının temel hedefi konumundadır.

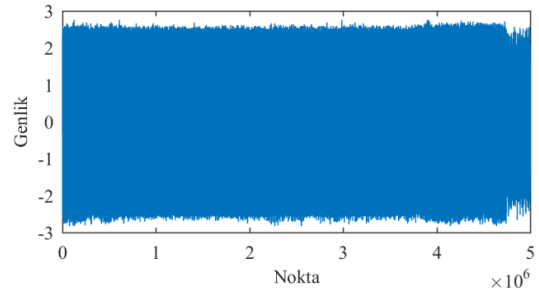
Raspberry Pi üzerinde 2 adet evrensel seri veri yolu (Universal Serial Bus – USB) portu bulunmaktadır. Bu portlara monitör ve klavye bağlanarak RSA algoritmasını gerçekleştirecek kodların yazılması ve derlenmesi işlemleri gerçekleştirilir. Ayrıca portlar sayesinde kütüphane yükleme dosyaları ya da kodlar başka bilgisayardan Raspberry Pi içerisine kopyalanabilir. Raspberry Pi'nin genel amaçlı kullanılan pinlerinden biri osiloskobun bir kanalına bağlıdır. Bu kanalla osiloskop ölçümü başlatmak için tetik alır.

Kriptografi işlemi boyunca dışarıya sızdırılan elektromanyetik yayılım yüksek hassasiyetli prob ile alınır. Yüksek hassasiyetli EM prob düşük gerilimli elektromanyetik yayınımları almak için idealdir. Bu prob osiloskobun başka bir kanalına bağlıdır. Osiloskop genel amaçlı giriş çıkış pinlerindeki gerilim artışı fark ettiği an elektromanyetik yayınımları alır ve ikili formatta kaydeder. Daha sonra Matlab'ta sinyal analizi gerçekleştirilmesi için başka bilgisayara aktarılır. Kullanılan yüksek hassasiyetli probun yüzey alanı çipin yüzey alanının 16'da biri kadardır. Bu nedenle çip üzerindeki 16 ayrı bölge taranmıştır ve en iyi noktadan ölçüm alınmıştır.

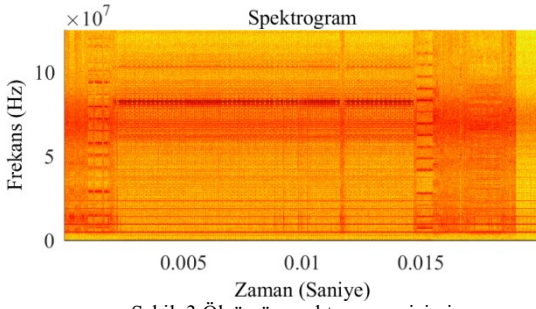
80 bitlik RSA anahtarı (9FFF0000FFFF0000FFFF) kullanılarak hızlı üs alma algoritması gerçekleştirilmiştir. Algoritmada anahtarın işlem yapılan bit değeri 1 ise çarpma işlemi yapılmakta, 1 değil ise yapılmamaktadır. Bu bilgi kullanılarak çarpma ve kare alma işlemleri birbirinden ayırt edilirse anahtarın bit değerleri tahmin edilebilir olacaktır. Osiloskoptan bilgisayara aktarılan ölçüm Matlab aracılığıyla tekrar oluşturulmuştur (Şekil 2). Ölçüm incelendiğinde, ön işleme tabi tutulmadan ham veriden bilgi elde etmek mümkün görünmemektedir.

IV. FİLTRELEME

Basit Elektromanyetik analizi atağı gerçekleştirilirken iki adet filtre kullanılmıştır. Raspberry Pi üzerinde kriptografik işlem gerçekleştirirken alınan ölçümde, kriptografik işlem ile ilgisi olmayan birçok gürültü bulunmaktadır. Bu gürültüler işlemcinin üstünde koşan işletim sistemi ya da farklı sistem operasyonları nedeniyle ortaya çıkmaktadır. Kullanılacak olan ilk filtre kriptografik işleme alakası olmayan ölçüm verilerinin ayıklanmasını sağlayacak bir bant geçiren filtre olacaktır. Kullanılacak filtrenin bandının tespiti için ölçümün spektrogramı çizdirilmiştir. Spektrogram, ölçümdeki sinyalin zamana bağlı frekans değişimini görsel olarak ifade etmektedir. Kriptografik işlemin yoğun işlem gücü gerektirdiği bilinmektedir. Şekil 3'te elektromanyetik yayılımın yoğun olduğu frekans aralığı kırmızı rengin en yoğun ve koyu olduğu bölge olan 75 MHz ile 90 MHz arasındadır. Bu aralığı filtreleyen tasarım metodu FIR olan bant geçiren filtre tasarlanmıştır. Bu filtre uygulandıktan sonra RSA algoritmasının çalışması ile alakalı olmayan sinyallerin bir kısmı ortadan kalkmış olacaktır.



Şekil. 2. Ölçüm verisi



Şekil 3. Ölçümün spektrogram çizimi

Raspberry Pi donanımının elektromanyetik radyasyonu dinamik ve sabit bileşen olmak üzere iki bileşenden oluşur.

$$p(t) = P_{sabit}(t) + p_{dinamik}(t) \quad (2)$$

(2)'de P_{sabit} anlık değişmeyen bölümdür, $p_{dinamik}$ ise dinamik bileşendir. Genellikle dinamik bölüm sabit bölümden daha zayıftır [12]. Bilgi içeren sızıntıyı bulmak için elektromanyetik radyasyondan bu dinamik bölümü ayırmak gerekir. Kasıtsız oluşturulan EM sızıntısı kendini taşıyıcı frekansa modüle olmuş halde göstermektedir.

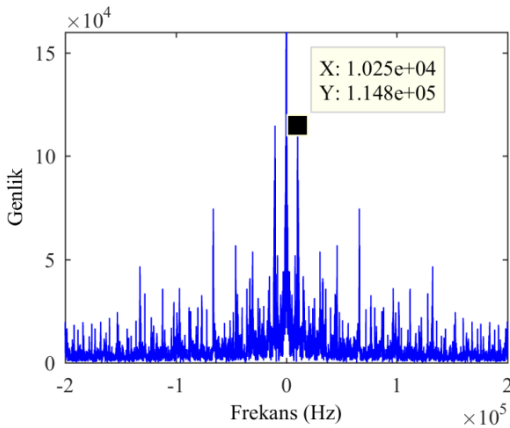
$$s(t) = p(t) \cos(\omega_r t) \quad (3)$$

Denklem (3) sinyalin genliğinin modülasyonunu vermektedir. Bu denklemde ω_r taşıyıcı frekanstır. Genlik demodülasyonu kullanılarak $p(t)$ ve bileşenleri elde edilebilir. Genlik demodülasyonu için yaygın olarak kullanılan zarfla algılama yöntemi kullanılmıştır [12]. Yöntem açıklaması aşağıdaki gibidir.

Orijinal sinyalin frekans bölgesi gösterimi için Ayrık Fourier Dönüşümü (Discrete Fourier Transform - DFT) kullanılabilir. $F(j\omega) = DFT\{p(t)\}$ şeklinde gösterilsin. Doğrultulmuş sinyalin spektrumu ise Fourier serisi kullanılarak hesaplanır [13].

Doğrultulmuş sinyal, elektromanyetik radyasyon sinyalinin spektrumuna benzerdir. Fakat spektrum ölçeklendirilmiş ve taşıyıcı frekansın çift katlarında tekrarlanmaktadır.

Bilgi içeren sızıntıyı elde etmek için taşıyıcı frekansın bulunması ve ona uygun filtre ile ölçümün filtrelenmesi gerekmektedir. Taşıyıcı frekansını bulmak için birinci filtreden geçirilmiş olan ölçümün mutlak değeri alınmıştır. Elde edilen ölçüm frekans bölgesine geçirilerek filtre uygulanacak bant belirlenmiştir. Şekil 4'te spektrum verilmiştir.



Şekil 4. Doğrultulmuş sinyalin spektrumu

Oluşan tepeler için ayrı bant geçiren filtreler kullanılarak bilgi içerip içermediği kontrol edilmiştir. Genliği en yüksek olan tepe 10 kHz civarındadır. Düşük frekansta çalışan uygun bir bant geçiren filtre istenen sinyali bileşenini ölçümden izole etmek için kullanılabilir. İkinci filtre olarak 5 kHz ile 15 kHz arası geçiren FIR bant geçiren filtre kullanıldığında bilgi elde edilmiştir.

V. BASİT ELEKTROMANYETİK ANALİZİ SALDIRISI

Bir önceki bölümde anlatılan iki adet filtrenin ölçümü uygulanmasının ardından ölçüm tekrar çizdirilmiş ve RSA işleminin başladığı bölgeye yoğunlaşmıştır. Şekil 5'te yer alan ölçümde de görüleceği üzere elde edilen ölçümde genliği en yüksek olan işlem mod alma işlemidir. Çarpma işleminin genliği ise kare alma işleminin genliğinden fazladır.

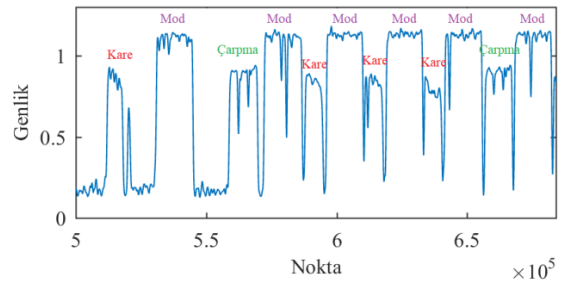
Hızlı üs alma algoritmasına göre kare alma işleminden sonra çarpma işlemi gerçekleştiriliyor ise anahtarın ilgili bit değeri '1' olmalıdır. Eğer kare alma işlemi çarpma işlemi takip etmiyor ise ilgili bit değeri '0' olmalıdır. Bu analogi takip edildiğinde Şekil 5'te gösterilen anahtarın ilk 4 bitinin değeri '1001' olmaktadır. Ölçümün tamamında bu analogi uygulandığında anahtar değeri 16'lık sistemde 9FFF0000FFFF0000FFFF olmaktadır.

Hızlı üs alma RSA algoritması gerçekleştirme zamanı açısından eniyileme sağlasa da bit değerine göre farklı işlemlerin gerçekleştirilmesi anahtarın ele geçirilmesine neden olmaktadır. Bu atağa karşı önlem olarak her turda aynı işlemlerin yapılacağı bir gerçekleştirme tercih edilmiştir [14]. Hızlı üs alma algoritması yerine her zaman kare alma ve çarpma algoritması kullanıldığında tek ölçüm ile anahtarı tahmin etmek mümkün olmamıştır. Şekil 6'de algoritma verilmiştir. Şekil 7'de ise her turda kare alma ve çarpma işlemlerinin yapıldığını gösteren ölçüm verisi verilmiştir.

VI. FARKSAL ELEKTROMANYETİK ANALİZİ SALDIRISI

DEMA saldırılarında atak yapılacak bölgenin belirlenmesi çok önemlidir. Gerçekleştirilen DEMA saldırısında RSA her zaman kare alma ve çarpma algoritmasında kullanılan anahtarın en anlamlı bitine atak yapılmıştır. En anlamlı bitin değeri 0 ise kare alma işlemi sonucu d nesnesine atanacakken, değeri 1 ise kare alma işlemi takip eden çarpma işleminin sonucu d nesnesine atanacaktır.

Aynı anahtar değeriyle N adet veri işleme sokulmuştur. Bu işlem sonucunda N adet ölçüm elde edilmiştir. Bu ölçümler SEMA saldırısında uygulanan filtrelerden geçirilmiştir. Daha sonra ilk bit sonucunda d nesnesinin değerinin güncelleneceği bölgeye göre ölçümler hizalanmıştır. Bu bölge ölçümdeki ilk çarpma işlemi ile ikinci kare alma işlemi arasında kalan bölgedir. Güç matrisi bu bölgedeki verilerden oluşmaktadır.



Şekil 5. Ölçümdeki işlemlerin birbirinden ayrılması

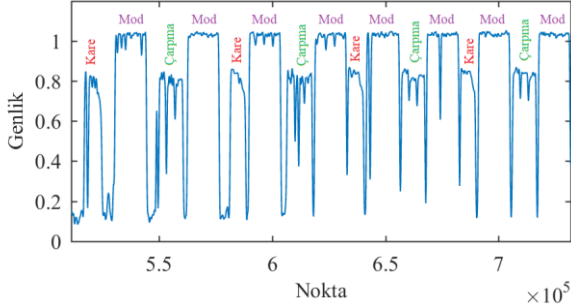
```


$$e = (e_{k-1}, e_{k-2}, e_{k-3}, \dots, e_0)_2, d = m^e \bmod n$$

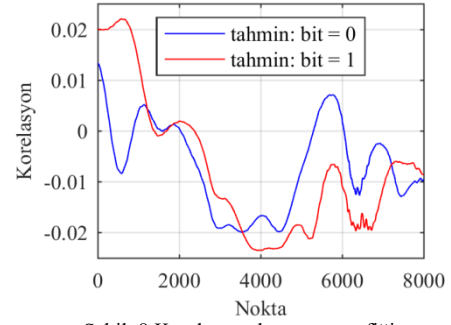
1:  $d \leftarrow m$ 
2: for  $i = k - 1 : 0$  // soldan sağa doğru
3:    $d_1 \leftarrow d * d \bmod n$  // Kare alma
4:    $d_2 \leftarrow m * d_1 \bmod n$  // Çarpma
5:   if  $e_i = 1$   $d \leftarrow d_2$ 
7:   else  $d \leftarrow d_1$ 

```

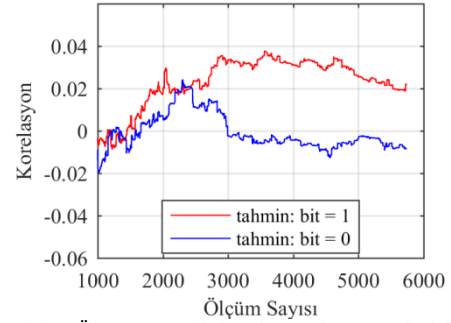
Şekil 6. Her zaman kare alma ve çarpma algoritması



Şekil 7. SEMA'ya karşı dayanıklı RSA ölçümü



Şekil 8. Korelasyon katsayısı grafiği



Şekil 9. Ölçüm sayısı ile korelasyon katsayısı değişimi

KAYNAKLAR

- [1] Akdur D., Demirörs O. ve Garousi V., "Gömülü Sistem Mühendisliğinde Kullanılan Yazılım Modellemesi ve Model Güdümlü Teknikler Anketi: Türkiye Sonuçları Teknik Raporu, " Orta Doğu Teknik Üniversitesi, Enformatik Enstitüsü ODTÜ/II-TR-2015-54, 2015.
- [2] Sanada A., Nogami Y., Iokibe K. and Khandaker M. A. A., "Security analysis of Raspberry Pi against Side-channel attack with RSA cryptography," *2017 IEEE International Conference on Consumer Electronics - Taiwan (ICCE-TW)*, Taipei, 2017, pp. 287-288.
- [3] Kocher P., "Timing attacks on implementations of Diffie-Hellman, RSA, DSS and other systems" in *Advances in Cryptology: Proceedings of CRYPTO'96*, vol. 1109 of LNCS, pp. 104-113, 1996, Springer-Verlag.
- [4] Janke M. and Laackmann P., "Power and timing analysis attacks against security controllers", Infineon Technologies AG, Technology Update, Smart Cards.
- [5] De Mulder E., Buysschaert P., Ors S.B., Delmotte P., Preneel B., Vandenbosch G. and Verbauwhede I., "Electromagnetic Analysis Attack on an FPGA Implementation of an Elliptic Curve Cryptosystem", *EUROCON 2005 - The International Conference on "Computer as a Tool"*, Belgrade, 2005, pp. 1879-1882.
- [6] Raspberry Pi <https://raspberrypi.org> Erişim Tarihi : 11.02.2018
- [7] Rivest R. L., Shamir A., Adleman L., "A Method for Obtaining Digital Signatures and Public-Key Cryptosystems", *Communications of the ACM*, Vol. 21, Issue 2, pp. 120-126, February 1978.
- [8] Kang S. M. ve Leblebici Y., *CMOS Digital Integrated Circuits: Analysis and Design*. McGraw Hill, 2002.
- [9] Griffiths D. J., Çev: Unal B., *Elektromanyetik Teori*. Gazi Kitabevi.2003
- [10] Chari S., Rao J.R. and Rotagi P., "Advances in Side-Channel Analysis", *RSA Laboratories Cryptobytes*, vol. 6, sf 20-32, 2003.
- [11] Clarke G. M. and Cooke D., *A basic course in statistics*, Arnold London, 4th edition, 1998.
- [12] Do A., Ko S. T. and Htet A. T., "Electromagnetic Side-Channel Analysis On Intel Atom Processor", *A Major Qualifying Project Report*. Worcester Polytechnic Institute, 2013.
- [13] Oswald D., Paar C., "Breaking Mifare DESFire MF3ICD40: Power Analysis and Templates in the Real World" In: Preneel B., Takagi T. (eds) *Cryptographic Hardware and Embedded Systems – CHES 2011*. CHES 2011. Lecture Notes in Computer Science, vol 6917. Springer, Berlin, Heidelberg
- [14] Wittman M.F., van Woudenberg J.G.J., Menarini F., "Defeating RSA Multiply-Always and Message Blinding Countermeasures", In: Kiayias A. (eds) *Topics in Cryptology – CT-RSA 2011*. CT-RSA 2011. Lecture Notes in Computer Science, vol 6558. Springer, Berlin, Heidelberg
- [15] Yalçın S. B. Ö., *Hardware design of elliptic curve cryptosystems and side-channel attacks. Doktora tezi*. Katholieke Universiteit Leuven, 2005

VII. SONUÇ VE ÖNERİLER

Bu çalışmada, Raspberry Pi üzerinde gerçekleştirilmiş RSA algoritmalarına SEMA ve DEMA saldırıları yapılmıştır. SEMA saldırısı sonucunda karşı önlem içermeyen bir gerçekleştirilmiştir. SEMA saldırısına dayanıklı algoritma gerçekleştirilerek anahtarın SEMA ile elde edilemediği görülmüştür. Ölçüm sayısının artırılması ve korelasyon analizinin kullanılmasıyla DEMA saldırısı gerçekleştirilmiştir. DEMA saldırısıyla anahtarın bit değerinin elde edilebileceği görülmüştür. Raspberry Pi platformunun yan kanal analizi saldırılarına karşı önlemi olmadığı görülmektedir. Açık kaynak kodlu kripto kütüphaneleri ve ücretli kripto kütüphaneleri kullanılan gerçeklemler için yan kanal analizi konusu ayrıca incelenmelidir.